

防衛大学校 (学) 川田誠吾・丸山仁和 (正) 正垣孝晴

### 1. はじめに

圧密特性に及ぼす試料の乱れに関する一連の研究<sup>1,2)</sup>において、 $e - \log p$  曲線の圧密降伏応力  $\sigma'_p$  の決定に著者らは三笠法を用いてきた。Casagrande 法では曲率最大点の決定が恣意的になり易いことに加え、乱れの大きな試料の  $e - \log p$  曲線では曲率最大点の決定そのものが困難であるからである。しかし、JIS A1217 では Casagrande 法が三笠法に優先する方法として規定され、国際的にも Casagrande 法が一般的方法として用いられている。

本稿では  $I_p$ 、 $q_u$ 、乱れの程度の異なる 37 の  $e - \log p$  曲線を準備し、技術者に対するアンケート調査から Casagrande 法の  $\sigma'_p$  ( $\sigma'_p(C)$ ) 値に及ぼす個人誤差の影響を検討した。

### 2. 供試土と実験方法

供試土は、桑名、境、青海、尼崎、徳山、六甲の全国 6 地域の沖積低地から採取した 9 種類の乱さない自然堆積粘土である。その指標的性質を表-1 に示す。  
 $I_p = 26 \sim 92$ ,  $q_u = 42 \sim 216$  kPa の広い範囲の土を対象にしている。試料変形装置<sup>3)</sup>を用いて、練り返し土を含めて乱れの程度の異なる 6 種類の試料を準備した。チューブ内径に対する面積比によって  $S_1$ (面積比 1)、 $S_2$ (同 0.95)、 $S_3$ (同 0.9)、 $S_4$ (同 0.8)、 $S_5$ (同 0.7)、 $S_6$ (練り返し土) の乱れの程度の異なる 6 種類の試料を準備した。 $S_1$  は乱さない土である。圧密供試体の寸法は、直径 6 cm、高さ 2 cm であり、JIS A1217 に従う標準圧密試験を行った。

### 3. 実験結果

図-1 に  $S_1$  試料に対して行った 9 試料の  $e - \log p$  曲線をまとめて示す。 $e_0 = 0.8 \sim 3.4$ ,  $C_e = 0.2 \sim 1.9$  の範囲を持つ幅広い粘土であった。図-2 は、各試料を代表するものとして、桑名 18 の試料の応力  $\sigma$  とひずみ  $\varepsilon$  の関係である。乱れが大きくなると  $q_u$  と曲線の立ち上がり勾配が小さくなり、破壊ひずみ  $\varepsilon_f$  が大きくなっている。図-3 は、図-2 と同じ桑名 18 の試料に対する間隙比  $e$  を  $\log p$  に対してプロットしたものである。試料の乱れが大きくなると  $\sigma'_p$  と  $C_e$  ともに小さくなっている。

### 4. アンケートの方法と回答結果

調査・設計を業とする全国規模の会社のうちの 7 社

表-1 供試土の指標的性質

| Site  | $I_p$<br>(%) | $\sigma'_{vo}$<br>(kPa) | $\varepsilon_{vo}$<br>(%) | $q_u$ | $\sigma'_p$<br>(kPa) | $C_e$ | $b/a$ |
|-------|--------------|-------------------------|---------------------------|-------|----------------------|-------|-------|
| 桑名 3  | 26           | 98                      | 3                         | 90    | 284                  | 0.2   | 3.3   |
| 境 8   | 31           | 90                      | 6                         | 98    | 180                  | 0.8   | 3.3   |
| 桑名 21 | 43           | 206                     | 7                         | 189   | 235                  | 0.7   | 5.0   |
| 青海 4  | 52           | 138                     | 5                         | 172   | 202                  | 1.0   | 5.8   |
| 桑名 18 | 54           | 186                     | 5                         | 216   | 245                  | 0.9   | 4.1   |
| 尼崎 10 | 62           | 236                     | 8                         | 127   | 332                  | 0.8   | 3.1   |
| 徳山 1  | 68           | 153                     | 5                         | 78    | 135                  | 0.3   | 1.9   |
| 六甲 9  | 81           | 57                      | 4                         | 72    | 98                   | 1.3   | 7.5   |
| 徳山 2  | 92           | 16                      | 13                        | 42    | 40                   | 1.9   | 14.0  |

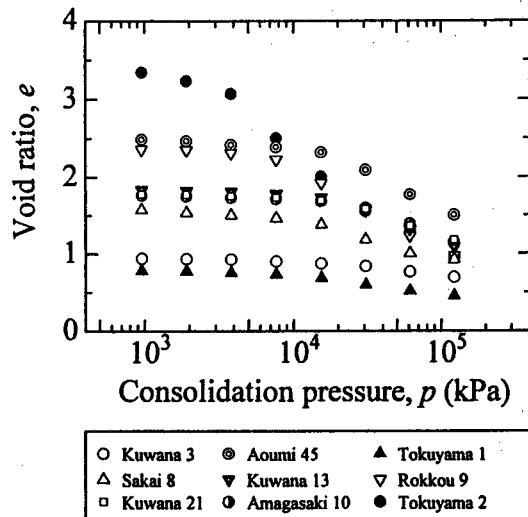


図-1 間隙比と圧密圧力の関係

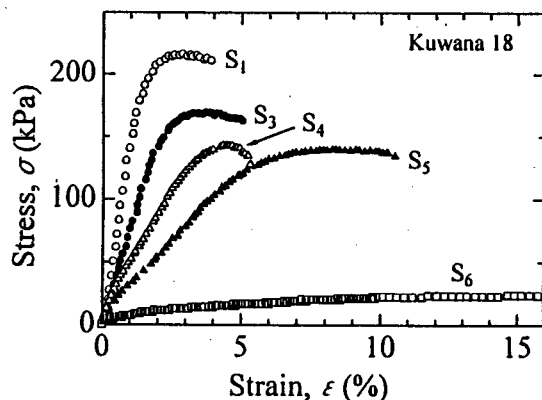


図-2 応力とひずみの関係

キーワード 標準圧密試験、 $e - \log p$  曲線、圧密降伏応力、判断誤差

連絡先 (住所・神奈川県横須賀市走水 1-10-20 防衛大学校、電話・0468-41-3810)

から計 20 名の技術者に 9 試料計 37 の乱れの程度の異なる  $e - 1 \circ g p$  曲線を提示し、回答者には Casagrande 法で  $\sigma'_p$  を求めるための曲率最大点の決定を依頼した。 $e - 1 \circ g p$  曲線には  $C_c$  の直線が明記してあり、回答者が示した曲率最大点からの  $\sigma'_p$  値の読み取りは、個人誤差の介入を防ぐため著者のうちの一人が統一して行った。

アンケートは平成 9 年 7 月からの 4 ヶ月間で実施し、郵便によって依頼・回収した。アンケートの回収率は 100% であった。 $S_6$  試料の  $e - 1 \circ g p$  曲線に対しては、曲率最大点を特定できない回答者の割合は 22% であった。

##### 5. $\sigma'_p(C)$ 値に及ぼす土の塑性と試料の乱れの影響

図-4 と 5 は、それぞれ  $S_1$  と  $S_6$  試料に対し、三笠法から得た圧密降伏応力( $\sigma'_p(M)$ )に対する 20 名の全回答者による  $\sigma'_p(C)$  の比  $R\sigma'_p$  を  $I_p$  に対してプロットしたものである。これらの図で [ ] は有効土被り圧下で定義した体積ひずみ  $\epsilon_{vo}$ <sup>2</sup> であり、( ) は提示した  $e - 1 \circ g p$  曲線の 0.1 に相当する  $e$  の縦軸の長さ  $a$  に対する横軸の対数目盛 1 サイクルの長さ  $b$  の比である。JGS T411 は  $b/a = 4 \sim 10$  の範囲で  $e - 1 \circ g p$  曲線を描くことを規定している。

図-4において、 $b/a = 4 \sim 10$  の範囲で整理した  $R\sigma'_p$  値は、1.0を中心とした 0.9~1.1 の範囲内にあり、この傾向に  $I_p$  は依存していない。しかし、 $b/a = 4 \sim 10$  の範囲を外れる  $R\sigma'_p$  値は、 $b/a < 4$  で 1 以下、 $b/a > 10$  で 1 以上の値を示し、 $R\sigma'_p$  値の変動も  $b/a = 4 \sim 10$  のそれに比べて大きくなる傾向がある。一方、図-5 は練り返し土であるため、 $\epsilon_{vo} \approx 10 \sim 30$  と大きい。 $b/a$  が 4~10 の範囲であっても  $\epsilon_{vo}$  値が大きく  $e - 1 \circ g p$  曲線に明瞭な曲率最大点が現れないことを反映して、 $S_6$  試料の  $R\sigma'_p$  値の変動は  $S_1$  試料のそれより大きい。そして、 $R\sigma'_p$  は  $I_p$  とともに大きくなり、 $I_p \approx 60$  の試料で約 1~2 である。すなわち、Casagrande 法は試料の乱れが大きくなると  $\sigma'_p$  値を過大に評価する。

##### 6. おわりに

本稿の主要な結論は以下のようである。

1)  $b/a = 4 \sim 10$  の範囲で得た Casagrande 法による  $\sigma'_p$  値は、回答者の平均値に対しては三笠法によるそれと同等の値を与える。しかし、 $\pm 10\%$  の範囲で変動する。

2) 試料の乱れが大きくなると Casagrande 法による  $\sigma'_p$  値は三笠法のそれより大きくなる。練り返し土の場合、個人差に起因する  $\sigma'_p$  値の推定誤差の範囲は三笠法のそれの  $\pm 100\%$  程度であった。

謝辞：ご多忙のところ面倒なアンケート調査にご協力いただきました関係各位に深甚の謝意を表します。

参考文献 1) Shogaki, T. and Kaneko, M., Soils and Foundations, Vol.34, No.3, pp. 1~10, 1994. 2) Shogaki, T., Soils and Foundations, Vol.36, No. 3, pp. 123~131, 1996.

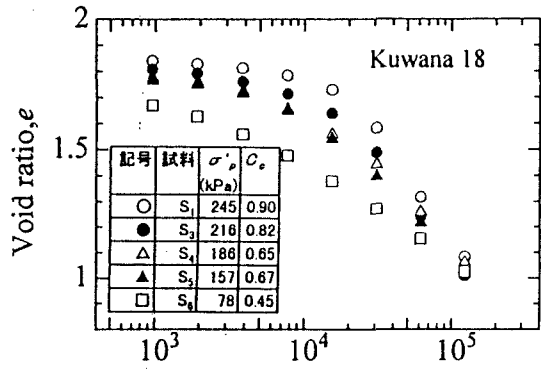


図-3 間隙比と圧密圧力の関係

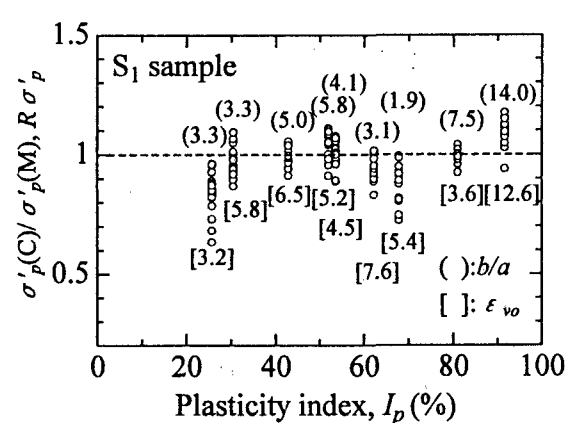


図-4  $R\sigma'_p$  と  $I_p$  の関係

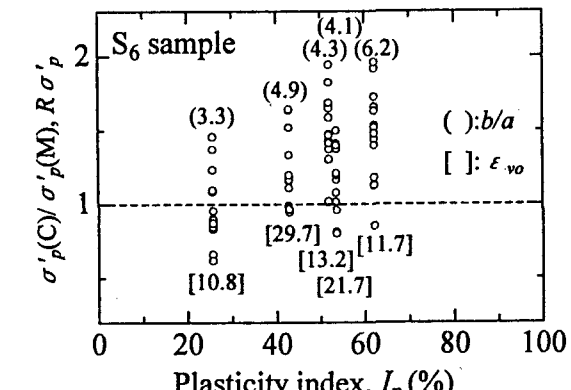


図-5  $R\sigma'_p$  と  $I_p$  の関係